

貫入試験値による斜面風化状況調査 —広島市・呉市の場合—

広島大学工学部 綱千寿夫
呉工業高等専門学校 小堀慈久

1 まえがき

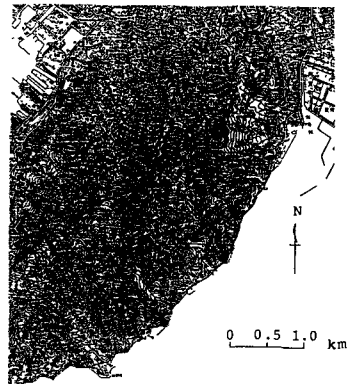
西日本一帯に広がるまさ土の斜面の風化状況を調べるために簡易貫入試験機(コーンペネトロメータ)を用いて市街部の丘陵地と斜面災害多発地の2ヶ所について調査を行った。ここで用いた貫入試験機は従来現場の軟弱地盤上における走行の可否判定を行うのに用いられたものであるが風化の進んだ砂質系地盤でも貫入抵抗値を得る事が出来る。調査対象地域は呉市と広島市である。

2 調査地域

広島市の中心部に位置し、公園绿地となっている丘陵地の比治山は地形的にかなりの浸食を受け山全体が多くの谷筋と屈曲の激しい斜面となっている。比治山の一部をFig-1に示す。この地域において従来から表面すべりの斜面崩壊はあるが昭和57年の墓地裏斜面の崩壊はまだ記憶に新しい。これらの事柄を踏え、比治山全域にわたり、市街地における丘陵地斜面の実態を知るために調査を行った。一方Fig-2に示す呉市においては昭和42年7月、49年7月に長期間の降雨による地盤のゆるみと急傾斜地と言う地理的要因が重なり斜面崩壊(ガケ崩れ等)が多発した。同市内でも代表的な災害地である休山周辺の大入地区を選び行った。



Fig-1 Hijiyama district (Hiroshima city)



By Ministry of Construction 1:25000
Fig-2 Yasumiya district (Kure city)

3 結果と考察

今回の調査は比治山地区で72地点、休山地区で57地点について行った。Fig-3は比治山における斜面勾配をとったもので縦軸に割合横軸に勾配 $/^{\circ}$ を表めた。30~34°の勾配をもつ斜面が全体の33.3%で最も多く44°勾配まで含めると83%となる。また図中の斜線のグラフは崩壊歴をもつ斜面の割合を示したもので30~44°で崩壊斜面全体の86%となっており、30°以上の勾配をもつ斜面の危険性を示している。Fig-4は休山での斜面勾配の分布をとったもので35~39°の勾配が26.3%あり最も多く30°以上の勾配をもつ斜面が全体の70.2%であった。両地区を見るといずれも30°以上の斜面が多く、特に比治山地区は崩壊しやすい勾配分布となっている。Fig-5は比治山の表土層厚の分布を示すもので60~69 cm厚が32%で最も多く79 cm厚まで含めると74%となる。全体の平均層厚は58.1 cmで風化土層は全般的に厚くなっている。崩壊歴を有する斜面では

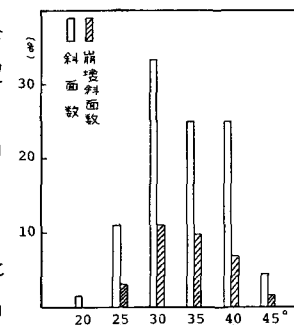


Fig-3 Slope angle distribution (Hiroshima, Hijiyama)

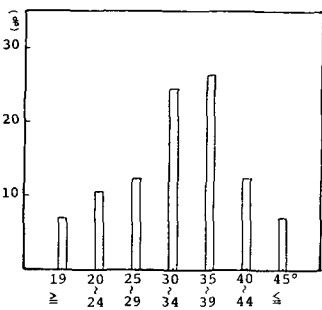


Fig-4 Slope angle distribution (Kure, Yasumiya)

50cm 厚以上の所で18例あり、この層厚での崩壊の可能性を示すものである。Fig-6の休山では10~19cm 厚が26.3%で最も多く、次に20~29cm 厚が24.6%である。30cm 厚以上42.1%あり強度の降雨があれば危険度は高まると考えられる。Fig-7は貫入抵抗値を各深さ毎にどのように分布をするかを検討したものである

20cm 深さでは q_c は1.0~2.0 kgf/cm²

がピークで30cm 深さで3.0 kgf/cm², 50cm 深さで4.0 kgf/cm²となっており

比治山全体の風化が深さ方向に層状に進行しているのがわかる。Fig-8は休山の場合で20cm 深さの q_c をとったもので平均 $q_c = 5.386 \text{ kgf/cm}^2$ である。

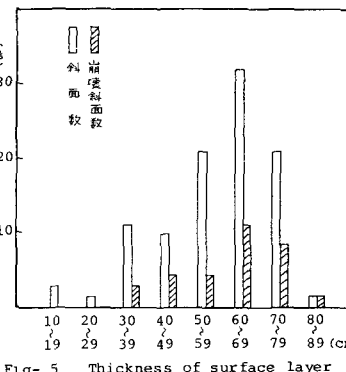


Fig-5 Thickness of surface layer (at Hijiyama)

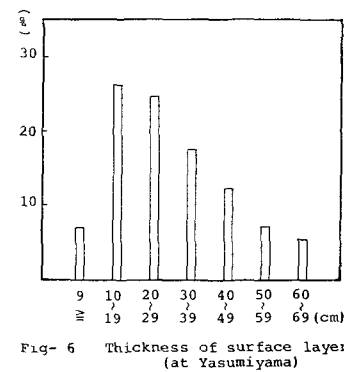


Fig-6 Thickness of surface layer (at Yasumiyama)

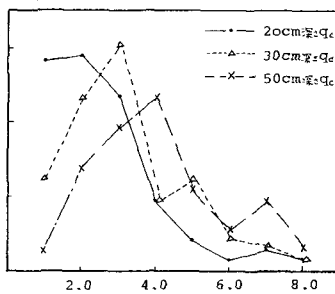


Fig-7 Penetration resistance (q_c) at each in depth (Hijiyama)

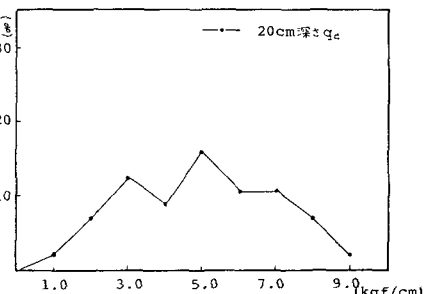


Fig-8 Penetration resistance (q_c) at 20cm deep (Yasumiyama)

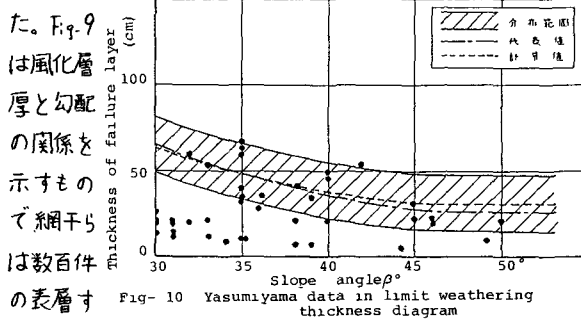


Fig-10 Yasumiyama data in limit weathering thickness diagram

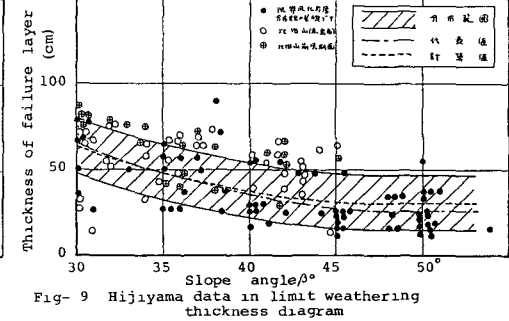


Fig-9 Hijiyama data in limit weathering thickness diagram

ベリ型のデータを整理・解析し崩壊時の状況を解説し図中の限界風化層厚の分布範囲を示した。計算値は $\gamma = 2.0 \text{ t/m}^3$, $\gamma' = 10 \text{ t/m}^3$, $C = 0.25 \text{ t/m}^3$, $\phi = 33^\circ$ を平面すべりの式より勾配(β°), 層厚(H_c)の関係グラフである。分布曲線内に崩壊斜面が多数存在し、一致している、比治山データの多くは曲線内及び越えた所にある。又右下の傾向は分布曲線と同様である。Fig-10は休山のデータで分布曲線内には13地点で全体の23%に過ぎず勾配の割に層厚が少なかった。Fig-11のように休山の場合、山頂付近では表層が深く低標高地は浅い。

4まとめ

都市部の比治山は崩壊多発地休山より風化が進行し勾配、層厚とも崩壊の危険性はきわめて高い事が判った。尚研究費の一部は昭和58年度文部省科研費(研究代表者: 綱千寿夫)より得た。《参考文献》① 土質工学会編; 風化花崗岩と土壤の工学的性質とその応用, P278-289. ② 綱千寿夫; 北治山の斜面風化調査, 第5回地質研究会。

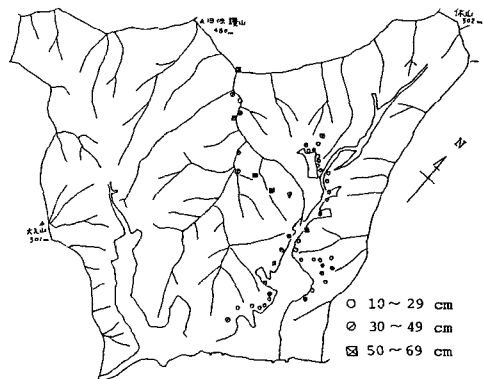


Fig-11 Cone penetration test point (at Yasumiyama)